

При $\lambda \rightarrow \infty$ формула (8) переходит в известное решение задачи Гартмана для однородного магнитного поля

$$u = \frac{\operatorname{ch} My - \operatorname{ch} M}{M^{-1} \operatorname{sh} M - \operatorname{ch} M} \quad (9)$$

Любопытно отметить, что в точках $x = \frac{1}{2}n$, где $\cos 2\pi x = (-1)^n$, также получаем профиль Гартмана. В точках $\frac{1}{4}(2n+1)$, где $\cos 2\pi x = 0$, формула (8) дает обычный профиль Пуазейля $u = \frac{3}{2}(1 - y^2)$.

Таким образом, при движении жидкости в периодическом внешнем магнитном поле, длина волны которого значительно больше высоты канала, распределение скоростей определяется формулой (8), которая аналогична формуле (9), взятой с некоторым эффективным числом Гартмана $M |\cos 2\pi x|$. При этом профиль скоростей периодически деформируется от гартмановского при $|\cos 2\pi x| = 1$ до пуазейлевского при $\cos 2\pi x = 0$. Поперечная скорость v может быть найдена из последнего уравнения (5) по известной составляющей u .

Для определения распределения давления в канале имеем соотношение

$$\frac{dp}{dx} = \frac{1}{R} \left[\frac{\partial^2 u}{\partial y^2} - (M \cos 2\pi x)^2 u \right]$$

Вычисляя его правую часть при помощи (8), находим

$$\frac{dp}{dx} = \frac{(M \cos 2\pi x)^2}{R} \frac{\operatorname{ch}(M \cos 2\pi x)}{(M \cos 2\pi x)^{-1} \operatorname{sh}(M \cos 2\pi x) - \operatorname{ch}(M \cos 2\pi x)} \quad (10)$$

На приведенной фигуре показано изменение профиля скоростей в зависимости от продольной координаты x .

Поступила 13 V 1963

ЛИТЕРАТУРА

- Регирер С. А. Об одном точном решении уравнений магнитной гидродинамики. ПММ. 1960, т. 24, № 2.
- Sakurai T., Naito M. Steady two-dimensional channel flow of an incompressible perfect fluid with small electric conductivity in the presence of nonuniform magnetic fields. J. Phys. Soc. Japan, 1962, vol. 17, No. 4.
- Sherman A. Viscous magnetohydrodynamic boundary layer. Phys. of Fluids, 1961, vol. 4, № 5.
- Turcotte D. L., Lyons J. M. A periodic boundary-layer flow in magnetohydrodynamics. J. Fluid mech., 1962, vol. 13, Pt. 4.

О МОДЕЛИРОВАНИИ МАГНИТОГИДРОДИНАМИЧЕСКОГО ТЕЧЕНИЯ В КАНАЛЕ НА ЭЛЕКТРОЛИТИЧЕСКОЙ ВАННЕ

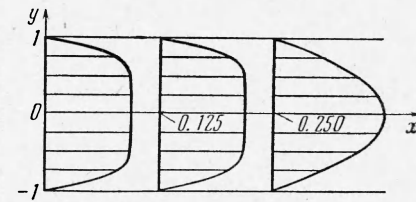
В. В. Назаренко (Москва)

Для течения электропроводной несжимаемой жидкости в плоском канале в присутствии магнитного поля при значениях магнитного числа Рейнольдса $Re_m \ll 1$ можно пренебречь влиянием индуцированного магнитного поля на движение жидкости. Кроме того, в ряде случаев гидродинамическая задача может быть отделена от электродинамической [1]. При этом скорость жидкости V может определяться из гидродинамических уравнений или задаваться, а распределение плотности тока j и электрического потенциала φ в канале находится из закона Ома и уравнения неразрывности для j

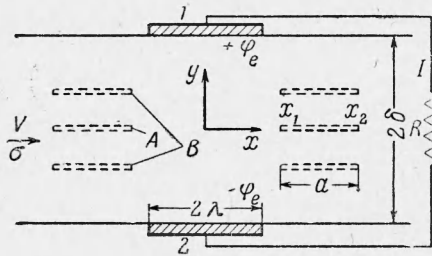
$$\mathbf{j} = \sigma \left(-\nabla \varphi + \frac{1}{c} \mathbf{V} \times \mathbf{B} \right), \operatorname{div} \mathbf{j} = 0 \quad (1)$$

Здесь \mathbf{B} — напряженность магнитного поля, σ — электропроводность жидкости, c — скорость света в пустоте. При этом \mathbf{V} и \mathbf{B} считаются заданными функциями координат. Задача сводится к уравнению Пуассона для функции φ .

Если канал составлен из участков проводников и диэлектриков, то граничными условиями будут постоянство потенциала φ на проводниках и отсутствие нормальной составляющей плотности тока на диэлектриках $j_n = 0$.



Для течения с переменной скоростью $V\{V(y), 0\}$ в постоянном магнитном поле (y — координата в поперечном оси канала направлении) задача также сводится к решению уравнения Лапласа для некоторой вспомогательной функции u , определяемой соотношением



Фиг. 1

Ниже приводятся некоторые результаты исследования течения несжимаемой электропроводной жидкости в плоском канале при помощи электролитической ванны.

Моделировалось течение в канале шириной 2δ , стени которого были составлены из участков проводников и диэлектриков (фиг. 1). Скорость течения жидкости V считалась заданной, не зависящей от x , и произвольной четной функцией y . Пара симметрично расположенных электродов длиной 2λ была соединена некоторой внешней нагрузкой R . На всем протяжении канала, перпендикулярно его плоскости, было приложено постоянное магнитное поле напряженности $B\{0, 0, -B\}$.

При движении жидкости в канале на электродах возникает разность потенциалов $2\Phi_e$ и во внешней цепи течет электрический ток I . При этом на внешней нагрузке R выделяется мощность $N = 2\Phi_e I$.

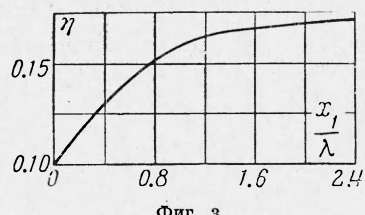
В указанных предположениях функция u , определяемая уравнением (2), удовлетворяет уравнению Лапласа [2]

$$\Delta u = 0 \quad (3)$$

с граничными условиями:

$$\begin{aligned} u &= \pm u_1 && \text{при } y = \pm \delta \text{ на электродах} \\ \partial u / \partial y &= 0 && \text{при } y = \pm \delta \text{ на диэлектриках} \end{aligned} \quad (4)$$

Значение функции u на электроде определяется из следующего соотношения:



Фиг. 3

$$u_1 = \Phi_1 - \frac{B}{c} \int_0^\delta V dy \quad (\Phi_1 - \Phi_2 = 2\Phi_e > 0) \quad (5)$$

где Φ_1 — значение потенциала на электроде 1.
Выделяемая на внешней нагрузке мощность может быть определена следующим выражением

$$N^o = \frac{N}{\sigma E^2} = \frac{1}{R\sigma} \left(\frac{2\Phi_e}{E} \right)^2 \left(E = \frac{B}{c} \int_{-\delta}^\delta V dy \right) \quad (5)$$

Выражение для джоулевой диссипации Q в канале, приведенное в работе [3], в рассматриваемом случае имеет вид

$$Q^o = \frac{Q}{\sigma E^2} = -\frac{1}{R\sigma} \left(\frac{2\Phi_e}{E} \right)^2 + \frac{\lambda}{\delta} \left(1 - \frac{2\Phi_e}{E} \right) + \frac{2\Phi_e}{E} \int_\lambda^\infty \left[\frac{E}{2\Phi_e} - 2 \left(\Phi^o - \frac{1}{2} \right) \right] dx^o \quad (6)$$

$$\Phi^o = \frac{\Phi_1 - \Phi_2}{2\Phi_e} \quad \text{при } y = \delta, x^o = \frac{x}{\delta}$$

Определяя коэффициент полезного действия η как отношение мощности к сумме мощности и джоулевой диссипации, имеем

$$\eta = \frac{N}{N+Q} = \frac{N^o}{N^o + Q^o} \quad (7)$$

Отметим, что для определения мощности, диссипации и к. п. д. достаточно знать величину $2\Phi_e$ и распределение потенциала на диэлектрической стенке канала при заданных V , B , R и σ . Вследствие симметрии задачи значение Φ (или Φ^o) достаточно знать на участке $\lambda < x < \infty$, $y = \delta$.

На электролитической ванне, геометрически подобной рассматриваемому каналу, моделировалась функция u , определяемая выражением (2), при тех же граничных условиях, что и в канале. При этом значения u в соответствующих точках канала и ванны совпадают. Используя закон Ома для электролитической ванны и внешней цепи канала, получаем следующие соотношения между параметрами канала и ванны

$$\frac{1}{\sigma} I = \frac{1}{\sigma_m} I_m, \quad \frac{2\Phi_e}{E} = \frac{\sigma R}{\sigma R + \sigma_m R_m} \quad (8)$$

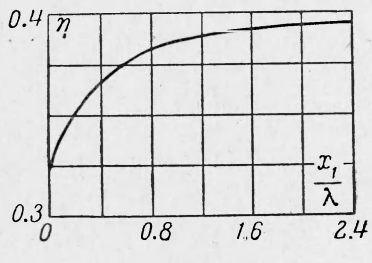
$$u_1 - u_2 = 2\Phi_e - E$$

где σ_m и I_m — электропроводность жидкости и сила тока для ванны, а R_m — сопротивление электролита между электродами ванны.

По найденным экспериментально значениям u находится распределение потенциала Φ в канале при заданном E (или $R\sigma$).

Для оценки точности моделирования было проведено сравнение определенных на электролитической ванне величин с аналогичными величинами, полученными из теоретических решений [2, 3]. На фиг. 2 нанесены теоретические и экспериментальные величины коэффициента полезного действия η в зависимости от λ / δ при $R\sigma = 0.5$.

Там же приведено приближенное решение для η , которое получается в предположении того, что электрическое поле считается постоянным между электродами и равным нулю вне электродов, т. е. решения, не учитывающего продольные краевые эффекты «растекания» тока. В последнем случае



Фиг. 5

При определении суммарной джоулевой диссипации в этом случае интегрирование производится также и по поверхности перегородок, на которых Φ терпит разрыв.

Исследовались симметричные группы пластин A и B различной длины a и при разных расстояниях по оси x между пластинами.

Установлено, что при смыкании перегородок происходит уменьшение как электрического тока и мощности в канале, так и коэффициента полезного действия, тем более интенсивное, чем больше размер пластин a и чем больше пластин в группе. На фиг. 3 дана зависимость η от расстояния x_1 / λ между перегородками для симметричных перегородок типа B (фиг. 1) размером $a / \delta = 1.0$ в канале с $\lambda / \delta = 0.5$ при $R\sigma = 0.5$.

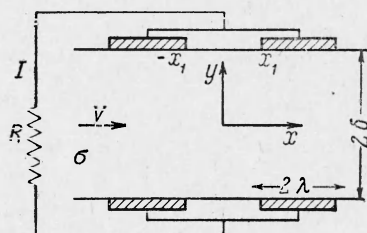
Как показывает эксперимент, применение диэлектрических перегородок для целей повышения снимаемой с электродов мощности и к. п. д. в рассматриваемом случае нерационально. Кроме того, было проведено исследование влияния расстояния между двумя парами симметричных электродов с $\lambda / \delta = 0.25$, соединенных параллельно (фиг. 4), на мощность и к. п. д. в канале.

Установлено, что с увеличением расстояния между электродами мощность и к. п. д. монотонно возрастают от теоретических значений, соответствующих сплошному электроду суммарной протяженности $\lambda / \delta = 0.5$ при $R\sigma = 0.5$. Зависимость η от расстояния между электродами приведена на фиг. 5.

Поступила 12 VI 1963

ЛИТЕРАТУРА

1. Ватажин А. Б., Регирер С. А. Приближенный расчет распределения тока при течении проводящей жидкости по каналу в магнитном поле. ПММ, 1962, т. XXVI, вып. 3.
2. Ватажин А. Б. К решению некоторых краевых задач магнитогидродинамики. ПММ, 1961, т. XXV, вып. 5.
3. Ватажин А. Б. Определение джоулевой диссипации в канале магнитогидродинамического генератора. ПМТФ, 1962, № 5.
4. Тетельбаум И. М. Электрическое моделирование. Физматгиз, 1959.



Фиг. 4